

СПЕКТРЫ КРАСНЫХ ПОЛУПРАВИЛЬНЫХ  
ПЕРЕМЕННЫХ В БЛИЖНЕЙ ИНФРАКРАСНОЙ  
ОБЛАСТИ \*

Е.Б.Гусев, В.Ф.Карамыш

Spectra of Red Semiregular Variable Stars  
in the Near Infrared Region

E.B. Gusev, V.F. Caramish

Эффективным средством для изучения красных звезд, спектры которых отягощены сильными и широкими молекулярными полосами, является низкодисперсная спектроскопия. Наиболее интересной в астрофизическом смысле областью спектра может считаться область около  $1 \mu$ , которая имеет очевидные преимущества: 1) находится максимум излучения самых холодных звезд; 2) имеются хорошо выраженные полосы молекул  $TiO$ ,  $VO$ ,  $ZrO$ ,  $H_2O$ ,  $CN$  и других соединений; 3) здесь можно отыскать участки, принадлежащие непрерывному спектру, и, таким образом, определять спектрофотометрическую температуру; 4) эта область доступна существующим фотоумножителям. Мешающим фактором в ближней инфракрасной области являются многочисленные теллурические полосы водяного пара и кислорода, но, к счастью, есть участки, где влияние этих полос незначительно, а также вполне возможен учёт их влияния на распределение энергии в спектре.

1. Наблюдения. В течение 1967-1968 гг. на электроспектрофотометре, установленном на  $17''$  телескопе системы профессора П.П.Аргунова ОАО, проводились спектроскопические наблюдения ряда полуправильных переменных гигантов спектральных классов M и C. В настоящем обзоре кратко рассматриваются результаты наблюдений  $CH Cyg$ ,  $W Cyg$ ,  $AF Cyg$ ,  $X Her$ ,  $RX Boo$ ,  $M Cep$  и  $U CVn$ . Регистрограммы  $CH Cyg$  за 1967 г. были любезно предоставлены Н.С.Комаровым и В.А.Позигуном. Наблюдения 1968 г. проведены авторами. Инструмент и его исследование описаны в работе [1]. Целью наблюдений было получение внеатмосферного распределения энергии в спектрах звезд.

\* По материалам доклада на XVI пленуме Комиссии переменных звезд Астросовета АН СССР (Кишинев, июнь, 1969 г.)

Стандартными звездами служили  $\alpha$  Lyr и  $\eta$  CMa. Был произведен учет теллурических полос поглощения. Методика обработки регистрограмм тождественна принятой на Одесской обсерватории. Для указанных звезд оказалось возможным обрабатывать записи спектров в интервале длин волн  $6500 \div 10800 \text{ \AA}$ , иногда коротковолновая граница сдвигалась до  $7000 \text{ \AA}$ . Вычисления были сделаны на ЭВМ "Проминь-М" ВЦ Одесской астрономической обсерватории.

**II. Отождествление молекулярных полос.** На рис.1 показано распределение энергии в спектре CN Cyg 20 мая 1968 г. Наиболее характерными особенностями в спектре являются полосы окиси титана. Они обнаруживаются в длинах волн  $6700, 7100, 7700, 8400, 8800, 9900$  и  $10200 \text{ \AA}$ . В длине волны  $10500 \text{ \AA}$  заметно поглощение от окиси ванадия. Весьма заметной является полоса водяного пара в интервале  $9100 \div 9800 \text{ \AA}$ . Поскольку это поглощение остается уже после учета влияния земного водяного пара, то оно указывает на присутствие в атмосфере CN Cyg собственного водяного пара. У остальных M-гигантов в основном имеются те же молекулярные полосы, что и у CN Cyg.

В спектре UCVn (рис.2а) обнаружены интенсивные полосы CN в длинах волн  $7100, 8000, 9200 \text{ \AA}$  и в районе  $1,1 \mu$ . И, наконец, спектр  $\mu$  Ser сильно отличается от спектров M и S-звезд (рис.2б).

На рис.2 распределение энергии дано в звездных величинах с произвольным нуль-пунктом. Спектр  $\mu$  Ser характеризуется сильными полосами в  $\lambda\lambda$   $7200, 7600 \div 8600, 9000 \div 10000 \text{ \AA}$ .

Видимо, можно говорить о присутствии полос окиси титана и, может быть, окиси циркония. Однако, окисью циркония нельзя объяснить значительный провал в области  $9300 \text{ \AA}$ , поэтому другой причиной может быть звездный водяной пар. Значительные полосы  $\text{H}_2\text{O}$  обнаружены у  $\mu$  Ser наблюдениями на Стратоскопе 11 в далекой ИК-области спектра [2]. Кроме этого в спектре  $\mu$  Ser нами выявлены многочисленные абсорбционные особенности, совпадающие по длинам волн с полосами CN.

**III. Определение температуры.** Определение спектрофотометрической температуры у красных звезд встречает большие трудности из-за сильного молекулярного поглощения в спектре. В инфракрасной области это может быть успешным. По крайней мере два участка в исследуемой области имеют минимальное молекулярное поглощение. Один участок рекомендован в работе М.В.Доллидзе и Г.Н.Джимшейшвили [3] - это  $8100 \div 8300 \text{ \AA}$  для звезд позднее M2. Р.Ф.Винг [4] предложил еще один участок - с длиной волны  $10400 \text{ \AA}$ , где влияние полос молекул пренебрежимо

даже для спектральных типов более поздних, чем M5. Последний участок удобен также тем, что поглощение водяным паром здесь минимально.

Мы пытались определить участки континуума эмпирически-путем подгонки кривых излучения абсолютно черного тела. На рис.3 показано распределение энергии в спектре RX Воо вместе с кривой черного тела для  $T=1380^{\circ}\text{K}$ . Оказалось, что участок  $8150 \div 8200 \text{ \AA}$  удовлетворяет условию наименьшего молекулярного поглощения для большинства спектров. В некоторых распределениях энергии точкой континуума является  $\lambda 7450 \text{ \AA}$ , а  $\lambda 8150 \text{ \AA}$  имеет очень небольшое поглощение. Около  $1 \mu$  относительно свободным участком оказался интервал  $1,0 \div 1,05 \mu$  и лишь незначительное молекулярное поглощение имеется в  $\lambda 9000 \text{ \AA}$ . Для  $\mu \text{ Cep}$  участками континуума оказались  $\lambda \lambda 7450, 8800, 10300 \div 10600 \text{ \AA}$ . Для углеродной звезды UCVn континуумом могут считаться участки спектра с длинами волн  $7750$  и  $10300 \div 10500 \text{ \AA}$ . Очень небольшое поглощение у длины волны  $9000 \text{ \AA}$ .

После определения точек континуума была вычислена спектрфотометрическая температура (таблица 1). Для большинства звезд эта температура близка к  $2000$  градусам, для UCVn к  $3000^{\circ}$  и у RX Воо к  $1400^{\circ}$ . Значения  $T_{sp}$  для SN Cyg в 1967 г. несколько отличаются ( $\Delta T \leq 150^{\circ}$ ) от  $T_{sp}$  согласно работе [5]. Это связано с тем, что в [5] при определении температуры использовались стандартные точки в спектре:  $0,815$  и  $1,04 \mu$ , тогда как здесь мы используем наиболее выступающие точки в спектре, не всегда совпадающие с указанными двумя длинами волн. Такое расхождение в значениях температур не является существенным.

Таблица 1

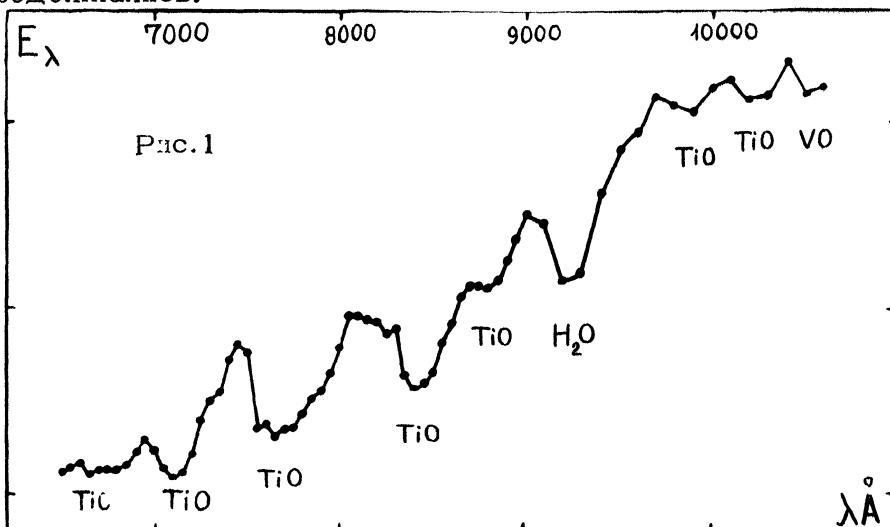
Звезда	Тип	Sp	Дата	$T_{sp}$
1	2	3	4	5
SN Cyg	SRa	M7 III	28.06.67	1990 <sup>o</sup>
			7.08.67	2090
			10.08.67	1910
			14.08.67	1900
			25.08.67	1960
			22.04.68	2060
			20.05.68	1940
			29.05.68	2390
			17.06.68	2160
			AF Cyg	SRb
W Cyg	SRb	M4e-M6	22.04.68	2050
			20.05.68	1970

1	2	3	4	5
X Her	SR6	M6e	23.04.68 20.05.68	1880 2050
RX Boo	SR6	M7e-M8e	23.04.68	1380
$\mu$ Cep	SRc	M2eIa	20.05.68	2060
У CVn	SR6	C5 <sub>4</sub>	24.04.68 24.06.68	2840 2970

**IV. Зависимость интенсивностей полос TiO от температу-  
ры.** Для всех M-звезд были построены графики зависимости  
интенсивностей полос TiO 7650 Å (рис.4) и 8500 Å (рис.5) от  
спектрофотометрической температуры. Также были привлече-  
ны аналогичные данные для шести постоянных M-звезд [6]:  
 $\beta$  And (M0),  $\gamma$  Vir (M1),  $\gamma$  Peg (M2), 55 Peg (M2),  $\alpha$  Cet (M2),  
 $\delta$  Vir (M3). Для переменных звезд нанесены индивидуальные  
значения. Из рисунков следует, что зависимости между ин-  
тенсивностями полос TiO и температурой существуют. Эти  
зависимости можно представить в виде двух параллельных  
последовательностей, разграниченных на обоих рисунках штри-  
ховой линией. Наличие двух ветвей было замечено по наблю-  
дениям постоянных звезд поздних спектральных классов [6].  
Как видно, переменные звезды поздних подклассов M также  
подчиняются этому разделению. Однако, полученные последо-  
вательности еще нельзя считать однородными. Так, в ниж-  
нюю последовательность попадает  $\mu$  Cep, у которой пони-  
женная интенсивность объясняется ее принадлежностью к  
сверхгигантам, и 55 Peg, для которой в работе [6] сделан  
вывод о меньшем отношении  $\frac{I}{C}$  по сравнению с  $\gamma$  Peg тако-  
го же спектрального класса.

Более подробное рассмотрение зависимости  $\Delta m(\text{TiO}) - T_{\text{Sp}}$  и ее приложение к спектральной классификации будет  
сделано по мере накопления наблюдательного материала. Изу-  
чение особенностей инфракрасных спектров отдельных полу-  
правильных переменных будет делаться в дальнейшем, час-  
тично это рассмотрено в работах [5,7,8].

В 1969 г. ИК-наблюдения полуправильных переменных  
продолжались.



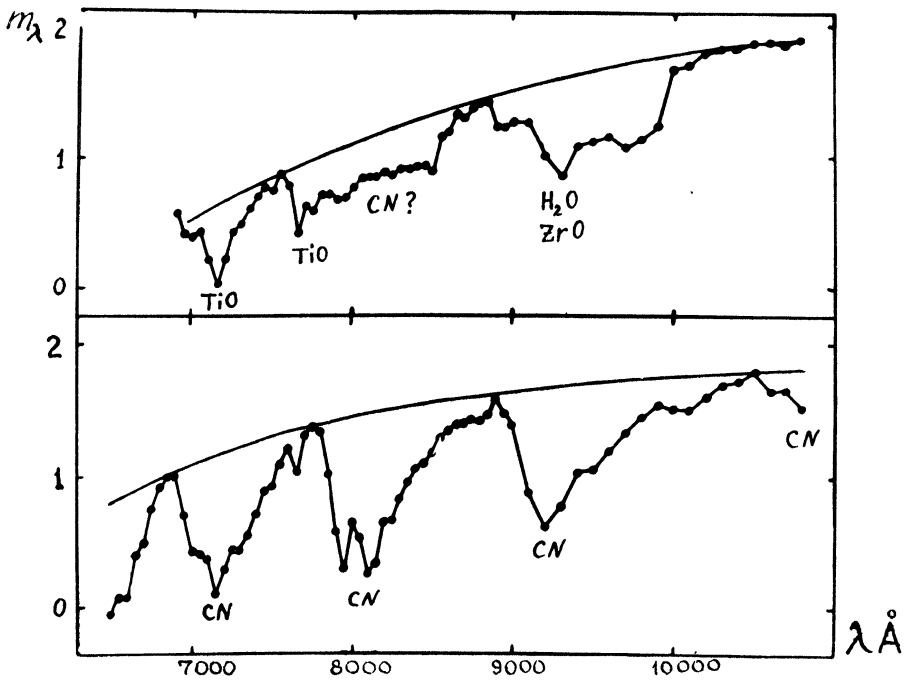


Рис. 2

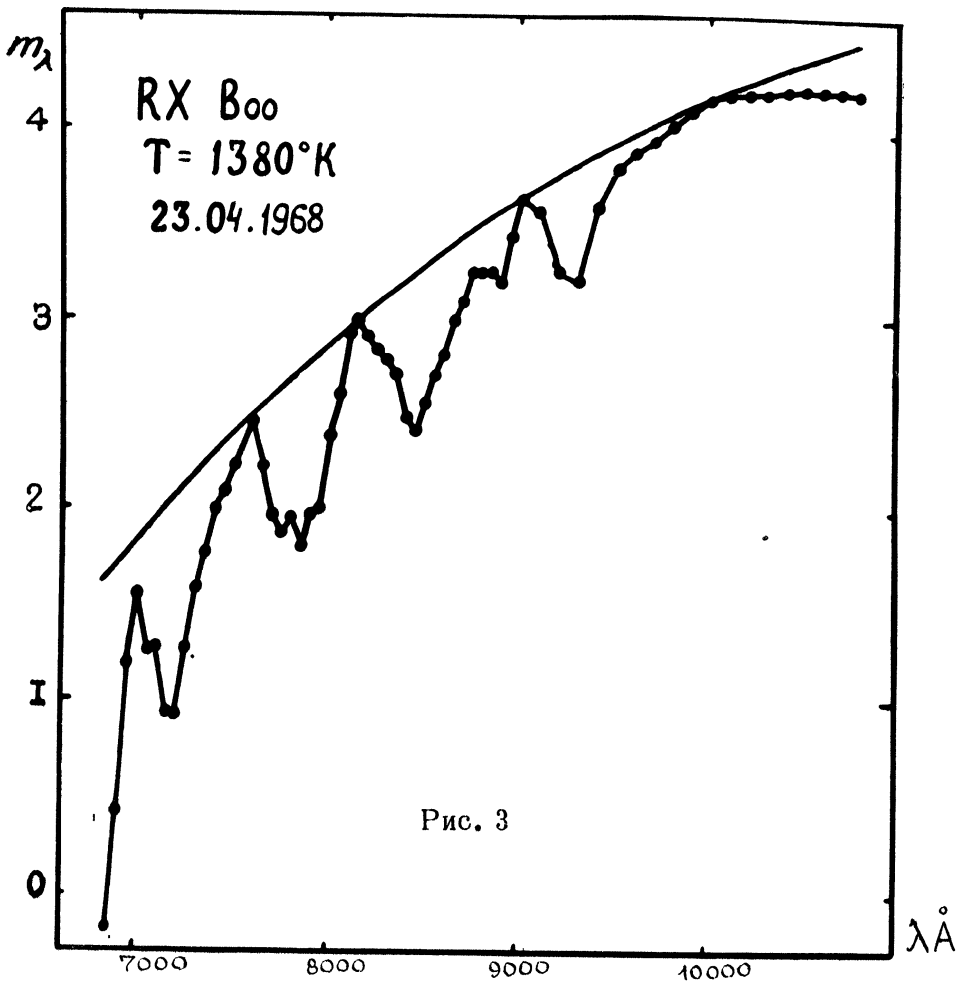


Рис. 3

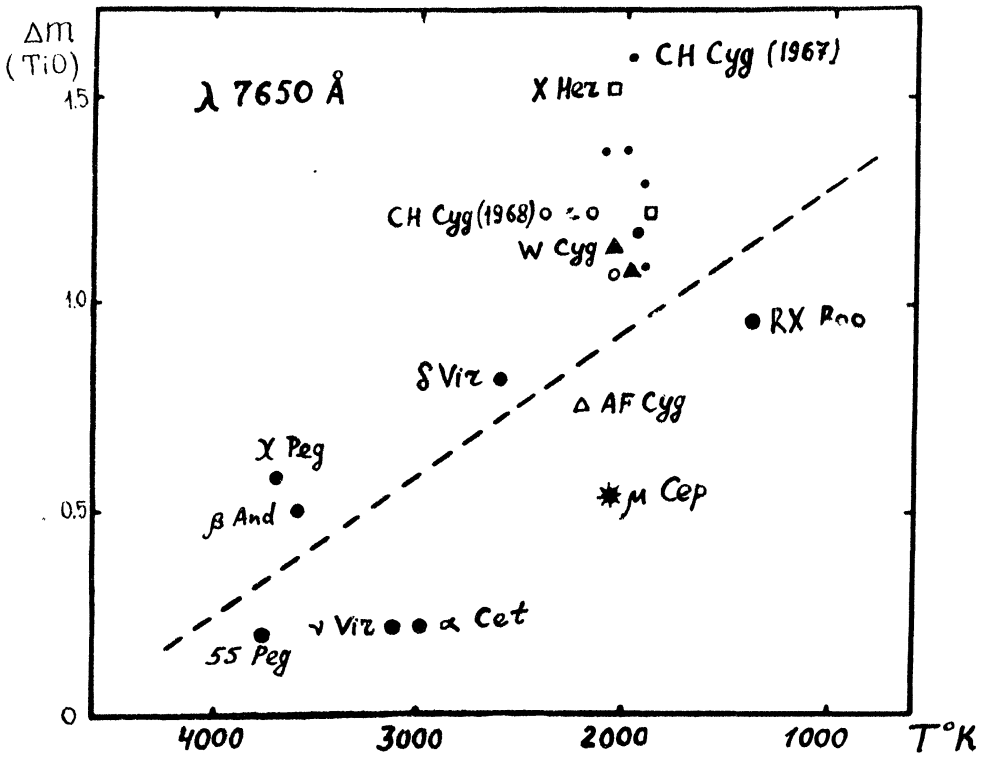


Рис. 4

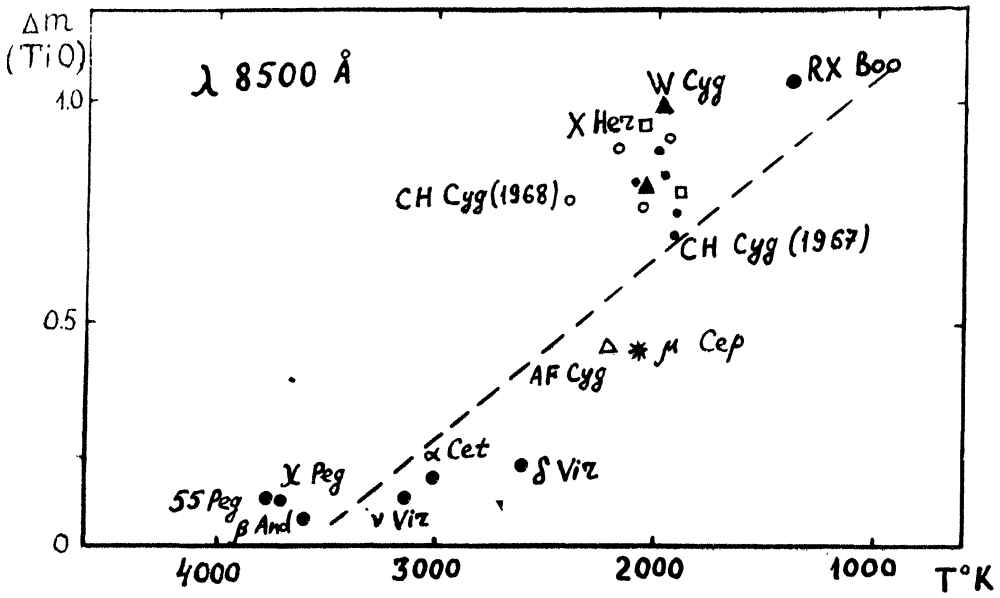


Рис.5

1. Н.С. Комаров, В.А. Позигун, АЖ 44, 133, 1968.
2. R.E. Danielson, Colloq. on Late-type Stars, Trieste, 186, 1966.
3. М.В. Долидзе, Г.Н. Джимшелейшвили, Бюлл. Абаст.Обс. 34, 27, 1966.
4. R.F. Wing, Colloq. on Late-type Stars, Trieste, 205, 1966.
5. Е.Б. Гусев, ПЗ 17, 312, 1970.
6. Н.С. Комаров, В.А. Позигун, А.В. Драгунова, АЦ №501, 1969.
7. Е.Б. Гусев, АЦ № 511, 1969.
8. Е.Б. Гусев, АЦ (в печати).

Одесская астрономическая  
    обсерватория,  
Шемахинская астрофизическая  
    обсерватория,  
    июль 1969 г.